PDS

A. Osman

Génesis. La transformada Discreta de Fourier DFT

de cálculo
de la DFT
Código de la
DFT
Relación
entre la

DFT, la SFT y la DTFT Zero-Padding Propiedades Carga computacional del computo

Algoritmos FFT

Aplicaciones de la FFT

Procesamiento Digital de Señales Apuntes de clase sobre la Transformada Rápida de Fourier FFT

A. Osman

Universidad de Carabobo

9 de diciembre de 2018

Contenido

PDS

A. Osman

Génesis. I transform da Discret de Fourier DFT

Algoritmos de cálculo de la DFT Código de l DFT Relación entre la DFT, la

DFT, la SFT y la DTFT Zero-Padding Propiedades Carga computacional del cómputo directo de la DFT

Algoritmos FFT

Aplicaciones de la FFT 1. Génesis. La transformada Discreta de Fourier DFT

2. Algoritmos FFT

3. Aplicaciones de la FFT

PDS

A. Osman

Génesis. La transformada Discreta de Fourier DFT

de cálculo de la DFT Código de la DFT

Codigo de l'
DFT

Relación
entre la
DFT, la
SFT y la
DTFT

ZeroPadding

Propiedades Carga computacio-

Algoritmos

Aplicaciones de la FFT Génesis. La transformada Discreta de Fourier

Definición

PDS

A. Osman

Génesis. La transformada Discreta de Fourier DFT

Algoritmos de cálculo de la DFT Código de

entre la
DFT, la
SFT y la
DTFT
ZeroPadding

Propiedades Carga computacional del cómputo directo de la DFT

Algoritmos FFT

Aplicaciones de la FFT Sea x[n] una secuencia causal de N muestras. La **Transformada Discreta de Fourier** (DFT) se define como:

$$X[k] = \sum_{n=0}^{N-1} x[n]W_N^{kn}$$
 (1)

Sea X[k] la DFT de N muestras de una secuencia x[n] causal. Se define la **Transformada Discreta de Fourier Inversa** IDFT de X(k):

$$x[n] = \frac{1}{N} \sum_{k=0}^{N-1} X[k] W_N^{-kn}$$
 (2)

Donde $W_N = e^{-j\frac{2\pi}{N}}$

Enfoque Matricial de la DFT

PDS

A. Osman

Génesis. La transformada Discreta de Fourier DFT

Algoritmos de cálculo de la DFT Código de l

DFT
Relación
entre la

SFT y la DTFT Zero-Padding

Carga computacional del

DFT

FFT

Aplicaciones de la FFT La DFT se puede plantear de manera matricial de la siguiente manera:

$$X[k] = Wx[n] \tag{3}$$

$$\begin{bmatrix} X[0] \\ X[1] \\ X[2] \\ \vdots \\ X[N-1] \end{bmatrix} = \begin{bmatrix} W_N^{00} & W_N^{01} & W_N^{02} \dots & W_N^{0(N-1)} \\ W_N^{10} & W_N^{11} & W_N^{12} \dots & W_N^{1(N-1)} \\ W_N^{20} & W_N^{21} & W_N^{22} \dots & W_N^{2(N-1)} \\ \vdots & \vdots & \vdots & \vdots \\ W_N^{(N-1)0} & W_N^{(N-1)1} & W_N^{(N-1)2} \dots & W_N^{(N-1)(N-1)} \end{bmatrix} \begin{bmatrix} x[0] \\ x[1] \\ x[2] \\ \vdots \\ x[N-1] \end{bmatrix}$$

De la misma manera, la IDFT se puede plantear como:

$$x[n] = \frac{1}{N} W^* X[k] \tag{4}$$

Periodicidad de los factores de entorche

PDS

A. Osman

Génesis. La transformada Discreta de Fourier DFT

Algoritmos de cálculo de la DFT Código de l DFT Relación entre la DFT, la

SFT y la DTFT Zero-Padding Propiedades Carga computacional del cómputo directo de la DFT

Algoritmos FFT

Aplicaciones de la FFT Las entradas de la matriz W se repiten de la siguiente manera:

$$W_N^r = W_N^{N+S} = W_N^N W_N^S = W_N^S$$
 (5)

Es por ello que solo habrán N entradas distintas dentro de la matriz W. Por ejemplo, si N=6, entonces, $W_6^{10}=W_6^4$.

Algoritmo de solución

PDS

A. Osman

Génesis. La transformada Discreta de Fourier DFT

Algoritmos de cálculo de la DFT

Código de

Relación entre la DFT, la SFT y la DTFT Zero-Padding

Propiedades Carga computacional del cómputo directo de la

Algoritmos

Aplicaciones de la FFT

Determine la DFT de la señal x[n] = [2, 1, -1, 0, 1, -1]

- \bullet Definir la secuencia en el dominio n o K.
- Definir el tamaño y elementos de la matriz W.
- Calcular los factores de entorche. (N factores distintos)
- Efectuar el producto matricial.
- Calcular el número de operaciones suma y producto. (opcional)
- Dibujar los factores de entorche.(opcional)

Implementación de la DFT Código Python

PDS

A. Osman

```
Génesis. La
transforma-
da Discreta
de Fourier
DFT
```

Algoritmos de cálculo de la DFT

Código de la DET

entre la DFT, la SFT y la DTFT Zero-Padding

Propiedades
Carga
computacional del
cómputo
directo de la

Algoritmos

Aplicaciones de la FFT

```
import numpy as np
import math
import cmath
def dft(sig):
    N=len(sig)
    y=np.matrix([sig]).T #define y traspone la matriz xn
    # n: base de tiempo discreto
    # k: base de frecuencia discreta
    n = np.matrix([list(range(N))]).T # define y traspone la matriz n
    k = np.matrix([list(range(N))]) # define la matriz k
    WN=cmath.exp(-1i*(2*math.pi/N)) # calcula el factor de entorche
    v=n*k # calcula la matriz despliegue
    p=np.array([v]) #convierte a v en eun arreglo para que luego pueda ser exponente
    r=WN**(p) # calcula la matriz w elevada a la potencia matricial.
    W= np.asmatrix(r) # convierte el arreglo en matriz.
    xk=W*y # calcula los coeficientes espectrales
    xk = np.array(xk)
    xk = xk.reshape(N)
    #s= np.array([xk])
    #numpy.set printoptions(precision=5) cantidad de decimales
    np.set_printoptions(suppress=True) #suprime notacion cientifica
    return xk
```

Relación entre la DFT, la SFT y la DTFT

PDS

A. Osman

Génesis. I transform da Discret de Fourier DFT

de cálculo de la DFT Código de la

Relación entre la DFT, la SFT y la DTFT Zero-

Padding
Propiedades
Carga
computacional del
cómputo
directo de la
DET

Algoritmos FFT

Aplicaciones de la FFT 1) La DFT se puede obtener a partir de la serie discreta de fourier considerando lo siguiente:

$$x[n] = \begin{cases} \tilde{x}[n] & ; 0 \le n \ge N - 1\\ 0 & ; \text{resto} \end{cases}$$
 (6)

$$X[k] = \begin{cases} \tilde{X}[k] & ; 0 \le k \ge N - 1\\ 0 & ; \text{resto} \end{cases}$$
 (7)

donde $\tilde{x}[n]$ es la señal periódica en el tiempo y $\tilde{X}[k]$ son los coeficientes de fourier de la serie discreta.

2) Si se conoce $X(e^{j\omega})$, X[k] se puede determinar muestreando a $X(e^{j\omega})$ en un periodo de 2π con muestras equiespaciadas a $\frac{2k\pi}{N}$; esto es :

$$\tilde{X}[k] = X(e^{j\omega})|_{\omega = \frac{2k\pi}{N}}$$
(8)

Zero-Padding

PDS

A. Osman

Génesis. La transformada Discreta de Fourier DFT

de cálculo de la DFT Código de l DFT

Relación entre la DFT, la SFT y la DTFT Zero-

Padding Propieda

Propiedades
Carga
computacional del
cómputo
directo de la
DFT

Algoritmos FFT

Aplicacione de la FFT Suponga que desea calcular la DFT de:

$$x[n] = [x[0], x[1], x[2], ..., x[N-1]]$$

El zero-padding consiste en rellenar con ceros de la siguiente forma:

$$x_{zp}[n] = [x[0], x[1], x[2], ..., x[N-1], 0, 0, 0, ..., 0] \\$$

Observaciones:

- La longitud de $x_{zp}[n]$ es L = N + S...
- El equiespaciado original en la frecuencia es de $\frac{2k\pi}{N}$.
- \bullet El nuevo equiespaciado en la frecuencia será $\frac{2k\pi}{L}.$
- la relacion $\frac{2k\pi}{N+S} < \frac{2k\pi}{N}$ implica una interpolación.
- Aumenta la densidad espectral de X[k].
- No altera la realidad de x[n].

Linealidad

PDS

A. Osman

Génesis. transform da Discre de Fourie DFT

de cálculo de la DFT Código de DFT Relación entre la

DTFT Zero-Padding

Propiedades Carga computacional del

Algoritmos

FFT

Aplicacione de la FFT $DFT\{\alpha x_1[n] + \beta x_2[n]\} = \alpha DFT\{x_1[n]\} + \beta DFT\{x_2[n]\}$ (9)

Si $N_1 \neq N_2$ se toma $N = \max\{N_1, N_2\}$ y se calcula la DFT con N muestras, completando con ceros si es necesario.

Rotación circular

PDS

A. Osman

Génesis. L transforma da Discret de Fourier DFT

de cálculo de la DFT Código de l DFT

Relación entre la DFT, la SFT y la DTFT

Padding
Propiedades

Carga computacional del cómputo

Algoritmos

Aplicaciones de la FFT Implica los procesos de envolver y desenvolver circularmente una secuencia. La DFT de una secuencia rotada circularmente se obtiene rotando circularmente la DFT de la secuencia sin rotar.

Rotación circular Enrosque

PDS

A. Osman

Génesis. La transformada Discreta de Fourier DFT

de cálculo de la DFT Código de l DFT

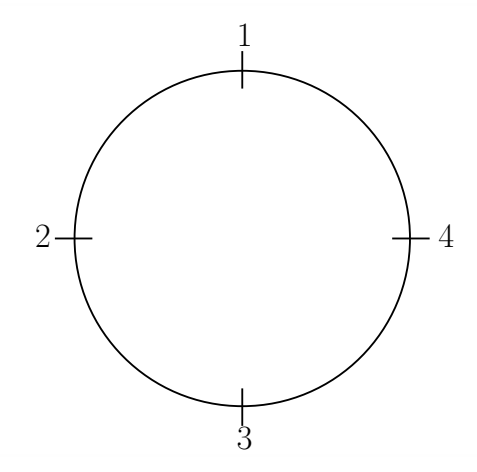
entre la DFT, la SFT y la DTFT Zero-

Padding Propiedades

Carga computacional del cómputo directo de la DET

Algoritmos FFT

Aplicaciones de la FFT Sea $x[n] = [1 \ 2 \ 3 \ 4]$



Rotación circular Desenrosque

PDS

A. Osman

Génesis. La transforma da Discreta de Fourier DFT

de cálculo de la DFT Código de l DFT

entre la DFT, la SFT y la DTFT Zero-

Padding Propiedades

Carga computacional del cómputo directo de la

Algoritmos FFT

Aplicaciones de la FFT Sea $x[n] = [1 \ 4 \ 3 \ 2]$

$$x'[n] = x((-n))_N = \begin{cases} x(0) & ; & n = 0\\ x(N-n) & ; & 1 \le n \le N-1 \end{cases}$$

en Matlab: x = x(mod(-n, N) + 1)

Desplzamiento circular

PDS

A. Osman

Génesis. L transforma da Discret de Fourier DFT

Algoritmos de cálculo de la DFT Código de

Código de DFT Relación entre la

DTFT Zero-Padding

Propiedades Carga computacional del

computacional del cómputo directo de la DFT

Algoritmos FFT

Aplicacione de la FFT En el dominio transformado implica

$$DFT\{x((n-m))_N\} = W_N^{km}X[k]$$

Ejemplo: sea $x[n] = [6\ 5\ 4\ 3\ 2\ 1]$ y m = -2, m es un adelante de la señal. Pasos:

- a) Rotación circular y desplazamiento.
- b) Desenrosque en sentido antihorario.

Desplzamiento circular

PDS

A. Osman

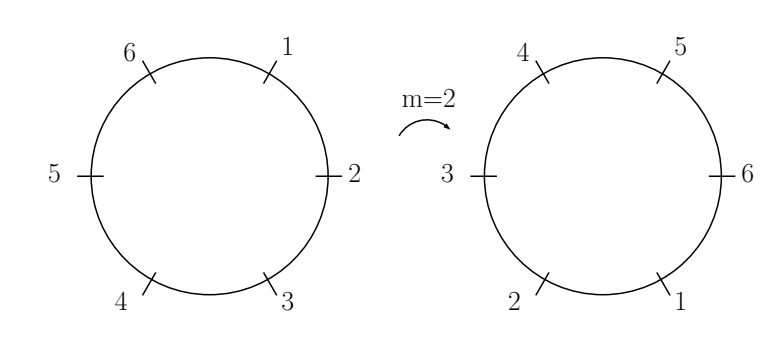
entre la

SFT y la DTFT

Propiedades

Algoritmos

de la FFT



$$y[n] = [4\ 3\ 2\ 1\ 6\ 5]$$

Desplzamiento circular

PDS

A. Osman

Génesis. L transforma da Discreta de Fourier DFT

de cálculo de la DFT Código de l

DFT Relación entre la DFT, la

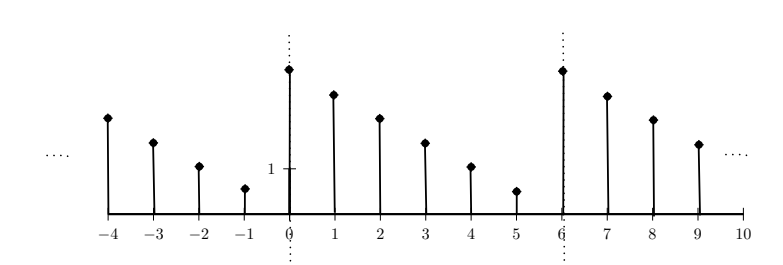
DTFT Zero-Paddin

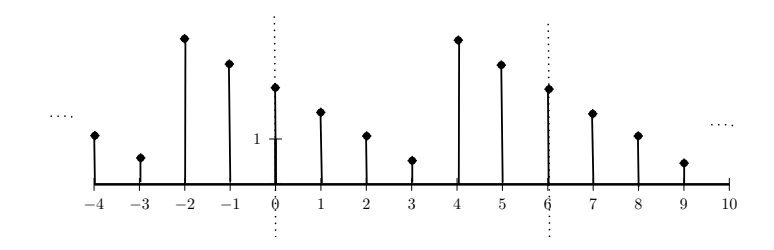
Propiedades Carga

Carga computacional del cómputo directo de la DET

Algoritmos

Aplicacione de la FFT





Modulación

PDS

A. Osman

Génesis. La transformada Discreta de Fourier DFT

de cálculo de la DFT Código de l DFT Relación

Relación entre la DFT, la SFT y la DTFT

Propiedades

Carga computacional del cómputo directo de la

Algoritmos FFT

Aplicaciones de la FFT $x[n]W_N^{mn} \xrightarrow{\text{DFT}} X[((k-m))_N]; \ 0 \le k \le N-1$

Simetría

PDS

A. Osman

Génesis. La transformada Discreta de Fourier DFT

de cálculo de la DFT Código de la DFT Relación

entre la DFT, la SFT y la DTFT Zero-Padding

Propiedades

computacional del cómputo directo de la DFT

Algoritmos FFT

Aplicaciones de la FFT

$$x^*[n] \xrightarrow{\text{DFT}} X^*[((-k))_N]; \ 0 \le k \le N-1$$

 $x^*[((-n))_N] \xrightarrow{\text{DFT}} X^*[k] ; 0 \le k \le N-1$

Carga computacional

PDS

A. Osman

Génesis. La transforma da Discreta de Fourier DFT

de cálculo de la DFT Código de l DFT

DFT, la
SFT y l
DTFT
ZeroPadding
Propied

Propiedades Carga computacional del cómputo directo de la DFT

Algoritmos FFT

Aplicaciones de la FFT Recordemos que La **Transformada Discreta de Fourier** (DFT) se define como:

$$X[k] = \sum_{n=0}^{N-1} x[n]W_N^{kn}$$
 (10)

- Si x[n] = a + jb y $W_N^{kn} = c + jd$ entonces para un valor de n y k el producto (a + jb)(c + jd) genera 4 multiplicaciones reales y 2 sumas reales.
- Para un valor de k, la ecuación (1), genera 4N multiplicaciones reales y 4N-2 sumas reales.
- El cálculo de la ecuación (1) genera $4N^2$ multiplicaciones reales y N(4N-2) sumas reales.

Consideraciones para el cómputo eficiente

PDS

A. Osman

Génesis. I transform da Discret de Fourier DFT

Algoritmos de cálculo de la DFT Código de l

Relación entre la DFT, la SFT y la DTFT

Propiedades Carga computacional del cómputo directo de la

Algoritmos FFT

DFT

Aplicaciones de la FFT La mayor parte de los procedimientos para mejorar la eficiencia de cómputo de la DFT explotan las propiedades de periodicidad y simetría de W_N^{kn} . Concretamente,

$$W_N^{k(N-n)} = W_N^{-kn} = (W_N^{kn})^*$$
 (11)

$$W_N^{kN} = W_N^{k(n+N)} = W_N^{(k+N)n}$$
 (12)

PDS

A. Osman

transformada Discreta de Fourier

Algoritmos

de la DFT Código de la DFT

Relación entre la DFT, la SFT y la

Padding Propiedades Carga

computacional del cómputo directo de la DFT

Algoritmos FFT

Aplicaciones de la FFT

Algoritmos FFT

Algoritmos FFT

Algoritmo de diezmado en el tiempo

PDS

A. Osman

Génesis. L transforma da Discreta de Fourier DFT

de la DFT
Código de
DFT
Relación
entre la
DFT, la
SFT y la
DTFT
ZeroPadding

Propiedades Carga computacional del cómputo directo de la DFT

 $\begin{array}{c} {\rm Algoritmos} \\ {\rm FFT} \end{array}$

Aplicaciones de la FFT El algoritmo de diezmado en el tiempo se genera a partir de la ecuación (4).

$$X[k] = G[k] + W_N^k H[k]$$
(13)

Donde G[k] y H[k] son las DFT de $\frac{N}{2}$ de los puntos pares e impares respectivamente de la secuencia x[n]. Además G[k] y H[k] son secuencias periódicas cada $\frac{N}{2}$. Por ejemplo, si N=8 G[0]=G[4], H[2]=H[6] etc. Sea $x[n]=\{x[0],x[1]\}$, la FFT de dos puntos de x[n] se calcula mediante el grafo de fluio de mariposa. Este último

sea $x[n] = \{x[0], x[1]\}$, la FFT de dos puntos de x[n] se calcula mediante el grafo de flujo de mariposa. Este último genera las ecuaciones (5) y (6):

$$X[0] = x[0] + x[1] (14)$$

$$X[1] = x[0] - x[1] \tag{15}$$

Algoritmos FFT

Flujogramas-FFT de 2 y 4 puntos-Diezmado en el tiempo

PDS

A. Osman

Génesis. La transformada Discreta de Fourier DFT

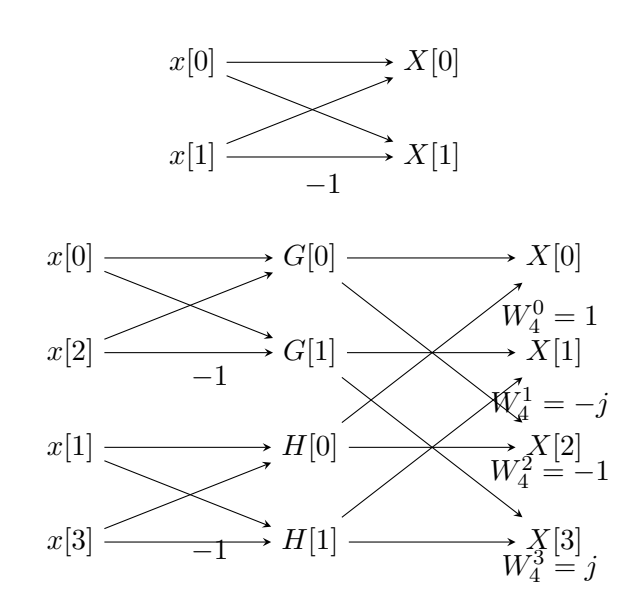
Algoritmos de cálculo de la DFT Código de l

Código de : DFT Relación entre la

entre la
DFT, la
SFT y la
DTFT
ZeroPadding
Propiedade:
Carga
computacio
nal del

Algoritmos FFT

Aplicaciones de la FFT



Algoritmos FFT Código Fortran

PDS

A. Osman

Génesis. La transformada Discreta de Fourier DFT

Algoritmos de cálculo de la DFT Código de DFT

Relación entre la DFT, la SFT y la DTFT Zero-Padding

Padding
Propiedades
Carga
computacional del
cómputo
directo de la

$\begin{array}{c} {\rm Algoritmos} \\ {\rm FFT} \end{array}$

Aplicaciones de la FFT El algoritmo de Diezmado en el tiempo o DIT de Raíz dos, fue originalmente desarrollado por S. Burrus en la Rice University en Setiembre de 1985. El código se muestra a continuación, en el cual

- X: Parte real de la entrada/salida.
- Y: Parte imaginaria de la entrada/salida.
- N: Número de muestras de la entrada.
- M: Logaritmo base 2 de N.

Algoritmos FFT Código Fortran

PDS

A. Osman

Génesis. La transformada Discreta de Fourier DFT

Algoritmos de cálculo de la DFT

Código de DFT

entre la DFT, la SFT y la DTFT

Padding Propiedades Carga computacio-

cómputo directo de la DFT

Algoritmos FFT

Aplicacione de la FFT

```
SUBROUTINE FFT (X,Y,N,M)
     REAL X(N), Y(N)
     INTEGER N,M
!f2py intent(in) X,Y,N,M
!f2pv intent(out) X.Y
!f2py depend(X) N
!f2py depend(M) N
!----ORDEN DE INVERSION DE BITS----
       J = 1
       N1 = N - 1
       DO 104 I=1, N1
           IF (I.GE.J) GOTO 101
               XT = X(J)
               X(J) = X(I)
               X(T) = XT
                    = Y(J)
               XT
               Y(J) = Y(I)
               Y(I) = XT
101
               K = N/2
102
               IF (K.GE.J) GOTO 103
           J = J - K
           K = K/2
           GOTO 102
103
               J = J + K
           CONTINUE
104
```

Algoritmos FFT Código Fortran

PDS

A. Osman

Génesis. La transformada Discreta de Fourier DFT

Algoritmos de cálculo de la DFT Código de l

Relación entre la DFT, la SFT y la DTFT

Padding Propiedades Carga computacional del

Algoritmos FFT

Aplicacione

```
N2 = 1
        DO 10 K = 1, M
             E = 6.283185307179586/(2*N2)
             A = 0
             DO 20 J = 1, N2
             C = COS(A)
             S = SIN(A)
             A = J*E
            DO 30 I = J. N. 2*N2
                          L = I + N2
                          XT = C*X(I_{\cdot}) + S*Y(I_{\cdot})
                          YT = C*Y(L) - S*X(L)
                          X(L) = X(I) - XT
                          X(I) = X(I) + XT
                          Y(L) = Y(I) - YT
                          Y(I) = Y(I) + YT
                     CONTINUE
30
                 CONTINUE
20
             N2 = N2+N2
10
             CONTINUE
        RETURN
        END
```

Algoritmos FFT Asignación

PDS

A. Osman

Génesis. L transforma da Discret de Fourier DFT

de cálculo
de la DFT
Código de
DFT
Relación
entre la
DFT, la
SFT y la
DTFT
ZeroPadding
Propiedade
Carga
computación
al del

DTFT
ZeroPadding
Propiedades
Carga
computacional del
computo
directo de la
DFT

Algoritmos

Algoritmos FFT

Aplicaciones de la FFT Asignación: Determine la FFT de 8 puntos de su cédula de identidad. Realice el despliegue de las ecuaciones y luego construya el grafo de flujo correspondiente tomando en cuenta la periodicidad.

PDS

A. Osman

entre la

Algoritmos

Aplicaciones de la FFT

Aplicaciones de FFT

Convolución circular

PDS

A. Osman

Génesis. La transformada Discreta de Fourier DFT

Algoritmos de cálculo de la DFT Código de

Relación entre la DFT, la SFT y la SFT y la DTFT Zero-Padding Propiedade Carga computacional del cómputo directo de l DFT

Algoritmos FFT

Aplicaciones de la FFT

$x[n]\circledast h[n]$

Pasos:

- \bullet $x((-n))_N$; solo el enrosque.
- $h((n))_N$; solo el enrosque.
- 3 Rotar $h((n))_N$ en sentido levógiro.

Convolución circular Ejemplo

PDS

A. Osman

Génesis. La transformada Discreta de Fourier DFT

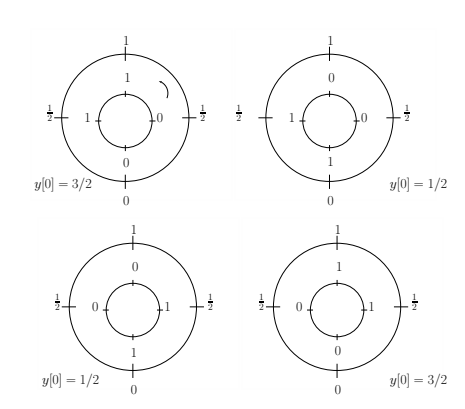
de cálculo de la DFT Código de l DFT Relación

Código de li DFT
Relación entre la DFT, la SFT y la DTFT
Zero-Padding
Propiedades
Carga computacio-nai del cómputo directo de li DFT

Algoritmos FFT

Aplicaciones de la FFT

 $x[n] = \{1, 1/2, 0, 1/2\}$; $h[n] = \delta[n] - \delta[n-3]$



Convolución circular Ejemplo

PDS

A. Osman

Génesis. L transforma da Discreta de Fourier DFT Algoritmos de cálculo de la DFT

de cálculo
de la DFT
Código de l
DFT
Relación
entre la
DFT, la
SFT y la
DTFT
ZeroPadding
Propiedade

computacional del cómputo directo de la DFT

Algoritmo FFT

Aplicaciones de la FFT

Propuesto:

$$x[n] = \{1, 2, 3, 1, 2\}$$

 $h[n] = \{2, 0, 1, 2, 1\}$

R: $y[n] = \{11, 12, 8, 12\}$

Convolución circular Propiedad

PDS

A. Osman

Génesis. La transformada Discreta de Fourier DFT

Algoritmos de cálculo de la DFT Código de l DFT Relación entre la

DFT
Relación
entre la
DFT, la
SFT y la
DTFT
ZeroPadding
Propiedades
Carga
computacional del
cómputo
directo de la

Algoritmos

Aplicaciones de la FFT $x_1[n] \circledast x_2[n] \iff X_1[k]X_2[k]$

Convolución lineal mediante la DFT circular

PDS

A. Osman

Génesis. I transforma da Discret de Fourier DFT

Algoritmos de cálculo de la DFT Código de l DFT

DFT, la DFFT Zero-Padding Propiedades Carga computacional del cómputo directo de la

Algoritmos FFT

Aplicaciones de la FFT

- a) Calcular la DFT de N puntos $X_1[k]$ y $X_2[k]$ de $x_1[n]$ y $x_2[n]$.
- b) Calcular el producto $X_3[k] = X_1[k]X_2[k] \ 0 \le k \le N$.
- c) Calcular la IDFT de $X_3[k]$.
- d) Luego, $x_3[n] = x_1[n] \circledast x_2[n] = IDFT \{X_3[k]\}.$
- e) Nota: $N \ge L + P 1$, donde L y P son las longitudes de $x_1[n]$ y $x_2[n]$ respectivamente.

Realización de un sistema LTI mediante la DFT

PDS

A. Osman

Génesis. La transformada Discreta de Fourier DFT

de cálculo de la DFT Código de l

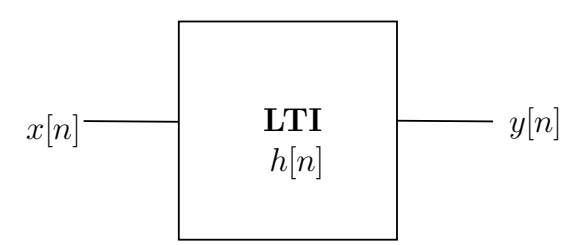
Relación entre la DFT, la SFT y la DTFT

Zero-Padding Propiedades Carga computacio-

cómputo directo de l DFT

Algoritmos FFT

Aplicaciones de la FFT



La convolución lineal es idéntica a la convolución circular si $N \geq L + P$.

Realización de un sistema LTI mediante la DFT Ejemplo

PDS

A. Osman

Génesis. La transformada Discreta de Fourier

Algoritmos de cálculo de la DFT

DFT
Relación
entre la
DFT, la
SFT y la
DTFT
ZeroPadding
Propiedad

Propiedades Carga computacional del cómputo directo de la DFT

Algoritmos

Aplicaciones de la FFT

$$x[n] = \{1, 2, 3, 1, 2\} \ h[n] = \{1, 2, 1, 0, 2\}$$

$$y[n] = \{2,4,7,6,12,9,7,5,2\} = x[n]*h[n]$$

$$x[n] \circledast h[n] = \{11, 11, 12, 8, 12\}$$

las primeras tres muestras \rightarrow muestras modificadas.

$$N \ge L + P - 1$$
, $N \ge 5 + 5 - 1 = 9$

Para realizar x[n] * h[n] mediante la convoluci Ãș
n circular entonces:

$$x[n] = \{1, 2, 3, 1, 2, 0, 0, 0, 0\} \text{ y } h[n] = \{1, 2, 1, 0, 2, 0, 0, 0, 0\}.$$

Convolución por bloques Solapamiento-suma

PDS

A. Osman

Génesis. La transformada Discreta de Fourier DFT

de calculo
de la DFT
Código de
DFT
Relación
entre la
DFT, la
SFT y la
DTFT
Zero-

Zero-Padding Propiedades Carga computacional del cómputo directo de la DFT

Algoritmos FFT

Aplicaciones de la FFT En este método se usa la convolución circular para calcular la convolución lineal, esto con el fin de aprovechar la velocidad de cómputo de la FFT.

- $N \ge L + P 1$
- Rellenar con ceros las secuencias x[n] y h[n] de tal manera que tengan la misma longitud N.
- Se debe almacenar las últimas P-1 muestras y sumarlas con las primeras P-1 muestras del siguiente bloque.

Convolución por bloques Ejemplo de Solapamiento-suma

PDS

A. Osman

Aplicaciones de la FFT

 $x[n] = \{1, 2, 3, 4, 5, 6, 7, 8, 9, ...\}$ $h[n] = \{1, 2, 3\}$. Determine la salida del sistema si la entrada se procesa en bloques de longitud 5 muestras

$$L + P - 1 = 5 + 3 - 1 = 7$$

Bloque 1:
$$\begin{cases} x_1[n] = \{1, 2, 3, 4, 5, 0, 0\} \\ h_1[n] = \{1, 2, 3, 0, 0, 0, 0\} \end{cases}$$

Salida:
$$y_1[n] = \{1, 4, 10, 16, 22, 2, 15\}$$

Bloque 2:
$$\begin{cases} x_2[n] = \{6, 7, 8, 9, 10, 0, 0\} \\ h_1[n] = \{1, 2, 3, 0, 0, 0, 0\} \end{cases}$$

$$Salida: y_2[n] = \{6, 19, 40, 46, 52, 47, 30\}$$

Convolución por bloques Ejemplo de Solapamiento-suma

PDS

A. Osman

Génesis. La transforma da Discreta de Fourier DFT

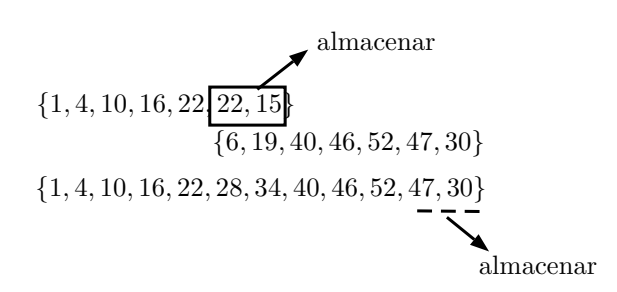
Algoritmos de cálculo de la DFT Código de la

Relación entre la DFT, la SFT y la DTFT Zero-

Padding Propiedades Carga computacional del cómputo

Algoritmos

Aplicaciones de la FFT Salida considerando los bloques 1 y 2:



Nota: Se acumulan las muestras en el siguiente bloque porque la convolución quedó incompleta.

Convolución por bloques Solapamiento y almacenamiento

PDS

A. Osman

Génesis. La transformada Discreta de Fourier DFT

de cálculo de la DFT Código de l DFT Relación entre la

DTFT
ZeroPadding
Propiedades
Carga
computacional del
cómputo
directo de la

Algoritmos

Aplicaciones de la FFT En este método también se usa la convolución circular para a provechar la eficiencia de la FFT.

- Solo se rellena h[n] hasta llegar a la longitud de L muestras de los bloques de x[n].
- Una vez obtenido el bloque de salida de L muestras, deben descartarse las primeras P-1 muestras incorrectas y luego se une cada bloque de manera consecutiva.
- Se debe almacenar las Ažltimas P-1 muestras del bloque anterior de la entrada para usarlos en el bloque posterior de entrada.

Convolución por bloques Ejemplo de Solapamiento y almacenamiento

PDS

A. Osman

Génesis. La transformada Discreta de Fourier DFT

Algoritmos de cálculo de la DFT Código de la

Relación
entre la
DFT, la
SFT y la
DTFT
ZeroPadding
Propiedade

Carga computacional del cómputo directo de la DFT

Algoritmos FFT

Aplicaciones de la FFT

Bloque 1:
$$\begin{cases} x_1[n] = \{1, 2, 3, 4, 5\} \\ h_1[n] = \{1, 2, 3, 0, 0\} \end{cases}$$
Salida: $y_1[n] = \{23, 19, 10, 16, 22\}$

Se descartan las primeras dos: 23, 19

Bloque 2:
$$\begin{cases} x_2[n] = \{6, 7, 8, 9, 10\} \\ h_1[n] = \{1, 2, 3, 0, 0\} \end{cases}$$

$$Salida: y_2[n] = \{41, 37, 28, 34, 40\}$$

Salida considerando los bloques:

$$\{10, 16, 22, 28, 34, 40, \ldots\}$$

Diseño de filtros Ecuación y estructura de un filtro FIR

PDS

A. Osman

Génesis. La transformada Discreta de Fourier DFT

Algoritmos de cálculo de la DFT Código de l DFT Relación entre la DFT, la SFT v la

Relación
entre la
DFT, la
DFT, la
SFT y la
DTFT
ZeroPadding
Propiedades
Carga
computacional del
cómputo
directo de la

Algoritmos

Aplicaciones de la FFT

$$y[n] = \sum_{n=0}^{M} b_k x[n-k]$$
 (16)

Diseño de filtros

PDS

A. Osman

Génesis. La transforma da Discreta de Fourier DFT

de la DFT
Código de li
DFT
Relación
entre la
DFT, la
SFT y la
DTFT
ZeroPadding
Propiedades
Carga
computacional del
cómputo
directo de li
DFT

Algoritmos FFT

Aplicaciones de la FFT

- a) Se define una respuesta en frecuencia deseada $H_d(e^{j\omega})$.
- b) Obtener la respuesta al impulso $h_d[n]$ del filtro mediante $IDFT\{H_d(e^{j\omega})\}.$
- c) Seleccionar el orden del filtro (M).
- d) Enventanar $h_d[n]$ para extraer la respuesta al impulso h[n] de longitud M+1. Esto es:

$$h[n] = h_d[n]W[n] \tag{17}$$

donde W[n] es una ventana.

Diseño de filtros Algunas ventanas

PDS

A. Osman

Génesis. L transforma da Discreta de Fourier DFT

DFT
Relación
entre la
DFT, la
SFT y la
DTFT
ZeroPadding
Propiedades
Carga
computacional del
cómputo

Algoritmos FFT

Aplicaciones de la FFT

a) Rectangular:

$$W[n] = \begin{cases} 1; & 0 \le n \le M \\ 0; & en \ el \ resto \end{cases}$$

(18)

b) **Hamming**:

$$W[n] = \begin{cases} 0.5 - 0.5\cos(2\pi n/M); & 0 \le n \le M \\ 0; & en \ el \ resto \end{cases}$$
 (19)

Diseño de filtros Muestreo en frecuencia

PDS

A. Osman

Génesis. La transformada Discreta de Fourier

de cálculo de la DFT Código de l DFT Relación

DTFT
Zero-Padding
Propiedades
Carga
computacional del
cómputo
directo de la

Algoritmos FFT

Aplicaciones de la FFT

- a) Definir una respuesta en frecuencia deseada.
- b) Seleccionar la longitud del filtro (M).
- c) Tomar M muestras equiespaciadas de $H_d(e^{j\omega})$ en el intervalo $[0, 2\pi]$, tal que:

$$H[k] = H_d(e^{j\omega}) = H_d\left(e^{j\frac{2\pi}{M}k}\right) \tag{20}$$

d) Calcular la respuesta al impulso del filtro, esto es, $h[n] = IFFT\{H[k]\}.$

Diseño de filtros Aproximaciones óptimas

PDS

A. Osman

Génesis. L transforma da Discreta de Fourier DFT

Algoritmos de cálculo de la DFT Código de DFT

DFT Relación entre la DFT, la SFT y la DTFT Zero-Padding Propiedade Carga

cómputo directo de l DFT

Algoritmos FFT

Aplicaciones de la FFT Son técnicas que profundizan en el paso a de los procedimientos descritos anteriormente y consisten en plantear formas polinómicas de orden superior en la frecuencia con fase lineal, de tal manera de generar rizados deseados. En el caso en que el rizado es constante se denomina **técnica de rizado constante**. Dentro de esta técnica se encuentra la aproximación por mínimos cuadrados.

Diseño de filtros Ecuación y estructura de un filtro IIR

PDS

A. Osman

Génesis. La transformada Discreta de Fourier DFT

de cálculo de la DFT
Código de l
DFT
Relación
entre la
DFT, la
SFT y la

SFT y la DTFT Zero-Padding Propiedades Carga computacional del cómputo directo de la DFT

Algoritmos FFT

Aplicaciones de la FFT

$$\sum_{k=0}^{N} a_k y[n-k] = \sum_{k=0}^{M} b_k x[n-k]$$
 (21)

$$H(Z) = \frac{\sum_{k=0}^{M} b_k z^{-k}}{1 - \sum_{k=1}^{N} a_k z^{-k}}$$
(22)

Diseño de filtros Invarianza al impulso

PDS

A. Osman

Génesis. transform da Discre de Fourie DFT

de la DFT
Código de
DFT
Relación
entre la
DFT, la
SFT y la
DTFT
Zero-

Zero-Padding
Propiedades
Carga
computacional del
cómputo
directo de la
DFT

Algoritmos FFT

Aplicaciones de la FFT

- a) Seleccionar un prototipo de filtro analógico según las especificaciones del cliente. Esto es, seleccionar un $H_c(S)$ de los modelos tabulados, que más se acerque a las condiciones requeridas.
 - b) Calcular $\mathcal{L}^{-1}\{H_c(S)\}=h_c(t)$.
 - c) Calcular $h[n] = T_s h_c(nT_s)$.

Diseño de filtros Transformación bilineal

PDS

A. Osman

Aplicaciones

de la FFT

a) Seleccionar un prototipo de filtro analógico según las especificaciones del cliente. Esto es, seleccionar un $H_c(S)$ de los modelos tabulados, que más se aproxime a las condiciones requeridas.

b) En $H_c(S)$ sustituir

$$S = \frac{2}{T_s} \left(\frac{Z - 1}{Z + 1} \right)$$

para determinar H(Z).

c) Calcular $h[n] = \mathcal{Z}^{-1}\{H(Z)\}.$

Diseño de filtros

Algunas consideraciones en el diseño de los filtros IIR

PDS

A. Osman

Génesis. La transformada Discreta de Fourier DFT

de calculo
de la DFT
Código de l
DFT
Relación
entre la
DFT, la
SFT y la
DTFT

ZeroPadding
Propiedades
Carga
computacional del
cómputo
directo de la
DFT

Algoritmos FFT

Aplicaciones de la FFT

- a) Tomar en cuenta la relación $\omega = \Omega T_s$ al momento de calcular los valores de frecuencia. Esto depende de las especificaciones del cliente. Se debe realizar la conversión de frecuencia en los casos requeridos.
- b) El orden aproximado del filtro analógico se puede obtener mediante la expresión

$$N = \frac{\log\left(10^{-\frac{M}{10}} - 1\right)}{2\log(\omega_a)} \tag{23}$$

donde $N \to \text{orden}$ del filtro prototipo analógico. $M \to \text{atenuación en } dB$ a una frecuencia ω_a . M debe ser menor que cero si corresponde a una atenuación $\omega_a \to \text{frecuencia}$ deseada en el punto de atenuación.

Diseño de filtros

Algunas consideraciones en el diseño de los filtros IIR (continuación)

PDS

A. Osman

Génesis. La transformada Discreta de Fourier DFT

de cálculo
de la DFT
Código de l
DFT
Relación
entre la
DFT, la
SFT y la
DTFT
Zero-

Padding
Propiedades
Carga
computacional del
cómputo
directo de la
DFT

Algoritmos FFT

Aplicaciones de la FFT

- a) En caso de usar tablas de prototipos normalizados, hacer todos los cálculos con las frecuencias normalizadas, esto es, realizar la división $\frac{\omega_i}{\omega_i}$
- b) En caso de usar la *transformación bilineal* realizar todos los cálculos con las frecuencias

$$W_i = 2f_s \tan\left(\frac{\omega_i}{2}\right) \tag{24}$$

Nota. ω_i son todas las frecuencias de corte y atenuación involucradas en el diseño.

c) Los prototipos más usados son Butterworth, Chebychev, Elíptico. En el caso de requerir filtros con rizado, usar los prototipos de Chebyshev y Elíptico.

Diseño de filtros Tipos de filtros: Pasa altas, pasa banda y rechaza banda

PDS

A. Osman

Aplicaciones de la FFT

Sea h[n] un filtro pasabajas,

a) Pasa altas:

$$h_{hp}[n] = \delta[n] - h[n] \iff H_{hp}[k] = 1 - H[k]$$
 (25)

b) Pasa banda:

$$h_{bp}[n] = h[n] * h_{hp}[n] \iff H_{bp}[k] = H[k]H_{hp}[k]$$
 (26)

c) Rechaza banda:

c.1

$$h_{nb}[n] = h[n] + h_{hp}[n] \iff H_{nb}[k] = H[k] + H_{hp}[k]$$
 (27)

c.2)

c.2)
$$H_{nb}[k] = 1 - H_{bp}[k]$$
 (28)